

Abstract The cDNAs of κ chain and Fd fragment of anti-gastric cancer mAb 3H11 were amplified by RT-PCR using degenerate primers for framework region 1 (FR1) and cloned into an Fab expression vector. Expression of Fab could be detected but with no antigen binding activity. Then the Vκ and Fd genes were corrected to its genuine sequence by PCR mediated mutagenesis. The reconstructed Fab containing either

corrected κ chain or Fd or both were expressed in *E. coli* at similar level. Correction of any one of the V region genes could partially resume the antigen binding activity. This result indicated that PCR primers introduced Vκ and Fd N terminal changes may seriously affect the antigen binding activity.

Key words anti-human gastric cancer mAb, Ig variable gene, Fab

蛋白激酶对 τ 蛋白阿尔茨海默样磷酸化的调节作用^{*}

王建枝 王 群 吴琼莉 I. GRUNDKE-IQBAL K. IQBAL

(同济医科大学病理生理教研室, 武汉 430030)

摘要 微管相关蛋白 τ 的异常磷酸化是阿尔茨海默病 (AD) 神经原纤维退变的重要机制之一。研究发现: 酪蛋白激酶-1 (CK-1), cAMP 依赖性蛋白激酶 (PKA) 和糖原合成酶激酶-3 (GSK-3) 均可不同程度催化重组 τ 蛋白发生磷酸化, 从而不同程度抑制 τ 蛋白促微管组装的生物学功能。如果先将 τ 蛋白与 PKA 预温 2 h 再和 GSK-3 温育, 则发现 τ 蛋白磷酸化程度比单纯用 GSK-3 处理显著增高, 生物学活性则显著降低, 电镜检测几乎看不见微管形成。结果提示: PKA 和 GSK-3 在 τ 蛋白的 AD 样磷酸化及其功能抑制中具有正性协同作用。

关键词 蛋白激酶, 阿尔茨海默病, τ 蛋白, 异常磷酸化

学科分类号 R745.7, Q513

阿尔茨海默病 (Alzheimer disease, AD) 是由慢性进行性脑退变引起的最常见的成人痴呆症, 其发病率随年龄增长而急剧上升。研究证明: 神经细胞内的神经原纤维缠结的形成是 AD 患者微管结构崩溃, 神经原纤维退化, 神经元死亡的基础^[1]。神经原纤维缠结的主要组成成分是异常过度磷酸化和异常糖基化的 τ 蛋白^[2,3]。

AD 脑中 τ 蛋白的异常磷酸化与蛋白激酶和蛋白磷酸酯酶调节失衡有关。对蛋白磷酸酯酶在 τ 蛋白异常磷酸化中的作用已有深入研究^[1], 而对蛋白激酶的有关作用却知之甚少, 其主要原因是蛋白激酶在体外催化 τ 磷酸化的反应具有非常缓慢的动力学^[4]。根据丝氨酸/苏氨酸蛋白激酶的催化序列是否依赖脯氨酸, 可将其分为脯氨酸指导的蛋白激酶 (PDPK) 和非脯氨酸指导的蛋白激酶 (non-PDPK)。在 AD τ 蛋白已经发现的 21 个异常磷酸化位点中, 有 10 个 PDPK 和 11 个 non-PDPK 位点。可见, PDPK 和 non-PDPK 可能均参与了 AD 的发病过程。因此, 本研究分别选用 GSK-3 (PDPK) 和 CK-1 及 PKA (non-PDPK), 探讨 PDPK

和 non-PDPK 对 τ 蛋白磷酸化的调节作用, 以期部分阐明蛋白激酶与 AD 神经原纤维退化的联系。

1 材料与方法

1.1 蛋白质样品的制备

含 C 端四个串联重复序列和 N 端一个插入子的重组人类 τ (τ3L, 图 1) cDNA 由 Goedert 博士提供。大肠杆菌中表达的 τ3L 的制备根据 Goedert 法^[5]进行如下改良: 将收获的含重组 τ3L 的细胞于 80 mmol/L Mes (pH 6.8) 含 5 mmol/L DTT 的溶液中进行超声破碎, 120 000 g 离心后, 取上清液用磷酸纤维素柱层析分离, 用免疫印迹法确定 τ 的洗脱峰, 收集富含 τ 的分子于沸水浴中煮沸 5 min 后用过氯酸进行抽提。所纯化的 τ 蛋白达凝胶电泳蛋白染色单点纯, 其得率平均为 5 mg/L 培养菌。CK-1 和 GSK-3 由 Singh^[6] 提供。GSK-3 制剂含 α 和 β 同工异构体的比例为 1:3。1 单位 CK-1 或 GSK-3 分别定义为在 30 °C 每分钟催化 1 nmol

* 国家自然科学基金资助项目 (39770175)。

收稿日期: 1998-06-19, 修回日期: 1998-12-29

^{32}P 掺入去磷酸化的酪蛋白 (4 g/L) 或鞘脂碱性蛋白 (1 g/L) 所需的酶量。PKA 催化亚基从

Sigma 公司购买。蛋白质含量测定用改良 Lowry 法。

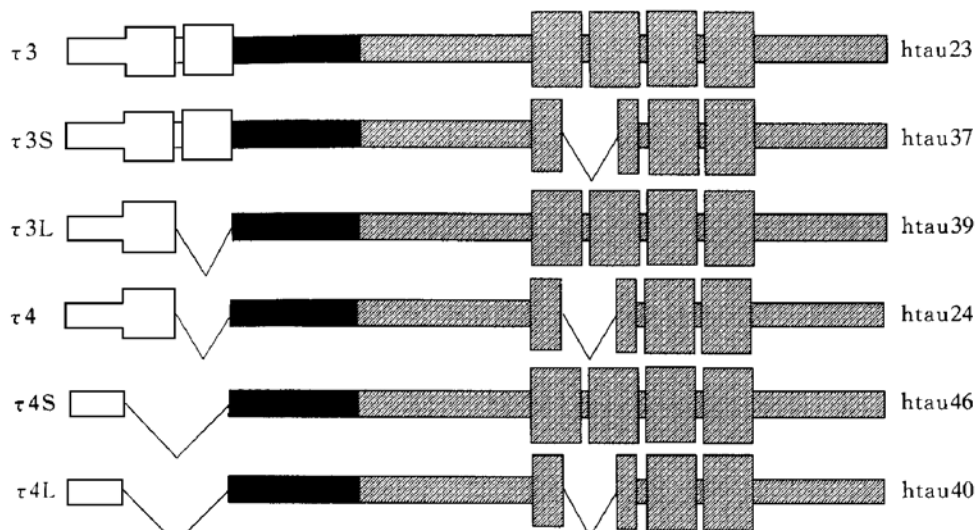


图 1 τ 蛋白异构体结构示意图

1.2 τ 蛋白的磷酸化反应

将 τ_3 L (1 g/L) 分别与 CK-1 (400 U/L), PKA (6 mg/L) 和 GSK-3 (350 U/L) 在磷酸化缓冲液 (7 mmol/L MgCl_2 , 12 mmol/L $\beta\text{-ME}$, 0.5 mmol/L ATP, 20 mmol/L Hepes pH 7.5) 中 30 °C 保温 4 h。在研究蛋白激酶的协同效应时, 先加入 CK-1 或 PKA 和非标记 ATP 保温 2 h, 于 95 °C 加热 5 min, 10 000 g 离心 10 min 后, 于上清液中加入 GSK-3 和 ^{32}P -ATP 再保温 4 h。

1.3 τ 蛋白磷酸化的定量分析

将一定量磷酸化样品加在 Waterman 一号滤纸, 用 24% 三氯醋酸 (TCA) 变性固定后, 在含 1% TCA 和 0.1 mol/L NaCl 的水溶液中层析约 20 min, 使磷酸化的 τ 蛋白与游离磷酸分离, 再用 Cherekov 计数法测 τ_3 L 的标记率。

1.4 τ 蛋白促微管组装实验

将上述不同处理的 τ (20 mg/L) 与新鲜纯化的微管蛋白 (2 g/L) 以及组装缓冲液 (100 mmol/L Mes, 1 mmol/L EGTA 和 1 mmol/L GTP) 在冰浴中混匀, 迅速加至 1 cm 石英比色皿后在 37 °C 连续记录 350 nm 时光吸收的变化。

1.5 负染电子显微镜技术检测微管结构

在微管组装实验进行到 15 min 时, 迅速取出 10 μL 反应液加在 300 mesh 碳素包被的铜网上, 经 5% 戊二醛 (glutaraldehyde) 固定并用 2% 磷钨酸 (phosphotungstic acid, PTA) 染色后, 电镜观察微管结构。

2 结 果

2.1 PKA 和 GSK-3 对 τ 磷酸化的协同作用

将 τ 蛋白分别与 GSK-3, PKA 及 CK-1 保温 4 h, 测得 ^{32}P 的掺入量分别为 (1.7 ± 0.3), (2.1 ± 0.5) 和 (4.0 ± 0.2) mol/mol; 若将 τ 蛋白先与 CK-1 或 PKA 及非标记 ATP 保温 2 h, 再与 GSK-3 及 ^{32}P -ATP 反应 4 h, 其 ^{32}P 的掺入量分别为 (1.2 ± 0.4) 和 (3.2 ± 0.3) mol/mol (表 1)。

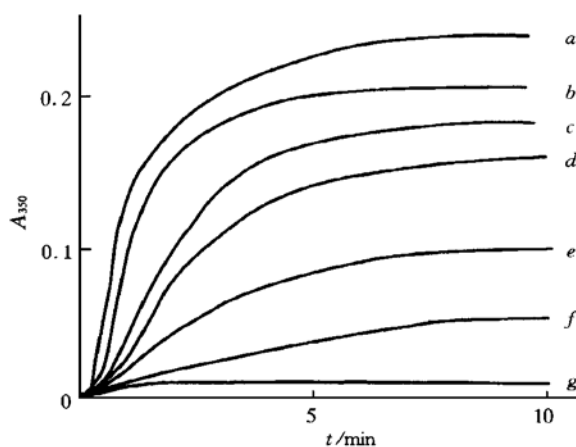
表 1 不同蛋白激酶对 τ 的磷酸化作用

蛋白激酶	^{32}P 掺入量/mol \cdot mol $^{-1}$
GSK-3	1.7 ± 0.3
PKA	2.1 ± 0.5
CK-1	4.0 ± 0.2
CK-1+ GSK-3	$1.2 \pm 0.4^{\text{1)}$
PKA+ GSK-3	$3.2 \pm 0.3^{\text{1)}$

$\bar{x} \pm s$, $n = 12$, ¹⁾仅显示 GSK-3 催化的 ^{32}P 掺入量。

2.2 蛋白激酶对 τ 功能抑制的协同作用

CK-1, GSK-3 和 PKA 的磷酸化对 τ 蛋白促微管组装的生物学功能具有强度递增的抑制效应; CK-1 及 PKA 与 GSK-3 的联合使用进一步增强对 τ 蛋白活性的抑制, 在本文所检测的蛋白激酶中, PKA 与 GSK-3 联合应用的抑制作用最强 (图 2)。

图 2 τ 蛋白的促微管组装曲线

a: 重组 τ L, b~f: 分别依次为 CK-1, GSK-3, PKA, CK-1+ GSK-3 和 PKA+ GSK-3 处理的 τ L, g: 微管蛋白.

2.3 负染电子显微镜检测生成的微管

CK-1, GSK-3 和 PKA 磷酸化的 τ 蛋白与管蛋白反应生成大量微管(图 3b~d), 其电镜结构与未经处理的重组 τ 蛋白(图 3a)无差异; CK-1 加

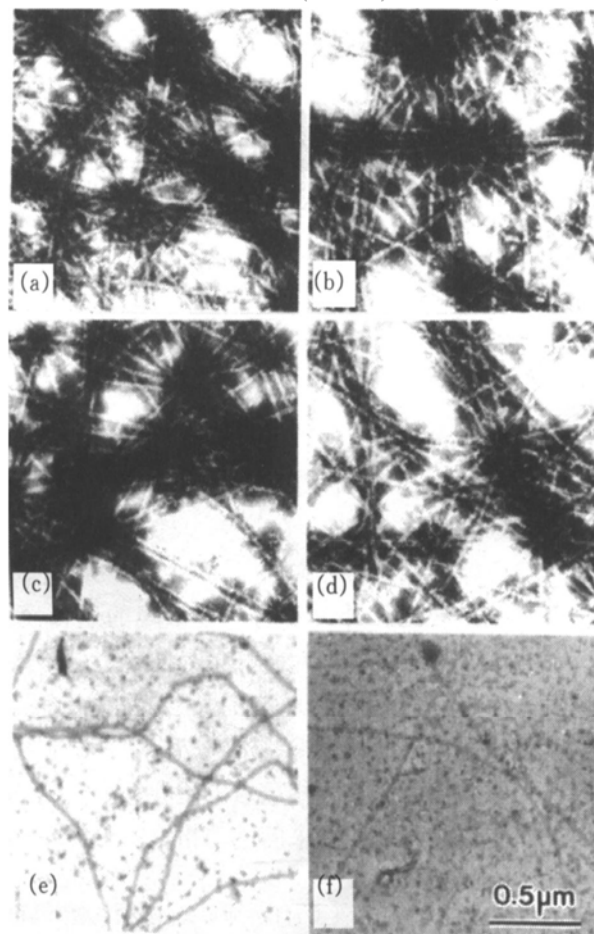


图 3 负染电子显微镜显示微管结构

(a) 重组 τ L, (b) ~ (f) 分别依次为 CK-1, GSK-3, PKA, CK-1+ GSK-3 和 PKA+ GSK-3 处理的 τ L.

GSK-3 或 PKA 加 GSK-3 处理的 τ 蛋白与管蛋白的反应液在电镜下几乎不见微管生成(图 3e, f).

3 讨 论

3.1 蛋白激酶 CK-1, PKA 和 GSK-3 可在体外催化重组 τ 蛋白磷酸化, 将 CK-1, PKA 和 GSK-3 单独与 τ 蛋白保温 4 h, τ 蛋白的 32 P 掺入量分别为 4.0, 2.1 和 1.7 mol/mol. PKA 预处理可明显增强 GSK-3 对 τ 蛋白的磷酸化作用, 其 32 P 掺入量比单纯用 GSK-3 增高约 1 倍, 而 CK-1 的预处理则不促进 GSK-3 对 τ 的磷酸化作用. CK-1 和 PKA 是 non-PDPK, 而 GSK-3 是 PDPK, 可见, non-PDPK 的预处理可对 PDPK 促 τ 蛋白磷酸化起不同的调节作用.

3.2 微管组装实验证明: CK-1, PKA 和 GSK-3 单独处理的 τ 蛋白的促微管组装生物学活性比未经处理的 τ 蛋白明显降低, 但在电镜下仍可见大量微管生成, 电镜检测属定性观察, 尚不能准确反应 τ 蛋白功能抑制的程度. CK-1 或 PKA 和 GSK-3 联合处理的 τ 蛋白微管组装活性显著降低(图 2), 且在电镜下几乎不见微管生成(图 3). 根据 32 P 的掺入量, 当分别使用上述蛋白激酶时, CK-1 使 τ 蛋白磷酸化的作用最强(表 1), 但是, 与 PKA 和 GSK-3 相比, CK-1 的磷酸化对 τ 生物学活性抑制作用最弱(图 2); 此外, GSK-3 虽然在 CK-1 的基础上只加上少量磷酸, 但确明显增强对 τ 蛋白生物学活性的抑制. 可见, τ 蛋白生物学活性的抑制除与其分子的磷酸化程度有关外, 其分子特定位点的磷酸化可能起更重要的作用. 根据本文研究结果, 我们得出如下初步结论: τ 蛋白的 AD 样异常磷酸化与 CK-1, PKA 和 GSK-3 等多种蛋白激酶有关, 且这些蛋白激酶在 τ 蛋白的 AD 样转变反应中起不同的调节作用. 这一研究结果为 AD 的发病机制提供了新理论, 为其防治途径的探讨提供了新线索.

参 考 文 献

- Iqbal K, Alonso A, Gong C X, et al. τ Phosphatase. In: Kosik K, Avila J, eds. Brain microtubule associated proteins: modifications and diseases. New York: Harwood Academic Publishers, 1997. 95~111
- Wang J Z, Gong C X, Zaidi T, et al. Dephosphorylation of Alzheimer paired helical filaments by PP-2A and PP-2B. J Biol Chem, 1995, 270 (9): 4854~4860

(下转第 402 页, Continued on page 402)

参考文献

- 1 Boman H G. Peptide antibiotics and their role in innate immunity. *Annu Rev Immun*, 1995, **13**: 61~ 92
- 2 Lehrer R I, Lichtenstein A K, Ganz T. Defensins antimicrobial and cytotoxic peptides of mammalian cells. *Annu Rev Immun*, 1993, **11**: 105~ 108
- 3 Hultmark D H, Steiner H, Rasinuson T, et al. Insect immunity, purification and properties of three inducible bactericidal proteins from hemolymph of immunized pupae of *Hyalophora cecropia*. *Eur J Biochem*, 1980, **106** (1): 7~ 16
- 4 Taniai K, Kato Y, Hirochika H, et al. Isolation and nucleotide sequence of cecropin B cDNA clones from the silkworm, *Bombyx mori*. *Biochim Biophys Acta*, 1992, **1132** (2): 206~ 209
- 5 Lidholm J A, Gudmundur H G, Lleanthis G X, et al. Insect immunity: cDNA clones coding for the precursor for ms of cecropins A and D antibacterial proteins from *Hyalophora cecropia*. *FEBS Letter*, 1987, **226** (1): 8~ 12
- 6 Gudmundur H G, Dan A L, Asling B, et al. Cloning and expression of a gene cluster encoding three antibacterial peptides in *Hyalophora cecropia*. *J Biol Chem*, 1991, **266** (18): 15510~ 11517
- 7 Van Hofsten P, Faayee L, Kockum K, et al. Molecular Cloning, cDNA Sequencing, and Chical synthesis of cecropia B from *Hyalophora cecropia*. *Proc Natl Acad Sci USA*, 1985, **82** (8): 2240~ 2243
- 8 Morishima I, Suginaka T U, Hirane H, et al. Isolation and structure of cecropins, inducible antibacterial peptides from the silkworm, *Bombyx mori*. *Comp Biochem Physiol*, 1990, **95B** (3): 551~ 554
- 9 张双全, 屈贤铭, 戚正武 (Zhang S Q, Qu X M, Qi Z W). 昆虫免疫应答及抗菌肽应用前景. 生物化学杂志 (J Biochem), 1987, **3** (3): 1118~ 1120
- 10 Chomczynski P, Sacchi N. Single-step method of RNA isolation by acid guanidinium thiocyanate phenol chloroform extraction. *Analy Biochem*, 1987, **162** (1): 156~ 169

- 11 王瑛 (Wang Y). PCR 产物直接分子克隆的比较研究. 生物工程进展 (Prog Biotech), 1996, **16** (5): 55~ 57
- 12 王亚明 (Wang Y M). 白暨豚、江豚和虎的分子进化遗传学研究: [学位论文]. 南京: 南京师范大学研究生处, 1995

Sequencing Partial Fragment of Cecropin A cDNA in the Silkworm *Bombyx mori* From China. LI Jian-Min, ZHOU Kai-Ya, ZHANG Shuang-Quan, DAI Zhu-Ying (Department of Biology, Nanjing Normal University, Nanjing 210097, China); ZHU Chang-Liang, YE Xin-Hai (Department of Biology, Nanjing Medical University, Nanjing 210029, China).

Abstract Total RNA was prepared from fat body of the silkworm, *Bombyx mori*, 9 hours after injected by *E. coli* K12D31. Single-strand cDNA was synthesized by reverse transcription (RT). Partial fragments of cecropin A cDNA were obtained, cloned and sequenced, by PCR technique with a pair of degenerate primers designed according to the amino acid sequence of CM4 in *Bombyx mori* and cecropin A in *Hyalophora*. These laid a foundation for further research on preparation of the probes of cecropin A for screening the silkworm cDNA library.

Key words cecropin A gene, *Bombyx Mori*, cDNA sequence

(上接第 375 页, Continued from page 375)

- 3 Wang J Z, Grundke-Iqbali I, Iqbal K. Glycosylation of microtubule associated protein tau: an abnormal posttranslational modification in Alzheimer dis 4 Singh T J, Grundke-Iqbali I, Wu Q L, et al. Protein kinase C and calcium/calmodulin dependent protein kinase II phosphorylate three repeat and four repeat tau isoforms at different rates. *Mol Cell Biochem*, 1997, **168** (1): 141~ 148
- 5 Goedert M, Jake R. Expression of separate isoforms of human tau protein: correlation with the tau pattern in brain and effects on tubulin polymerization. *EMBO J*, 1990, **9** (2): 4225~ 4230
- 6 Singh T J, Wang J Z, Novak M, et al. Calcium/calmodulin dependent protein kinase II phosphorylates tau at ser-262 but only partially inhibits its binding to microtubules. *FEBS Lett*, 1996, **387** (1): 145~ 148

Modulation of Protein Kinases on an Alzheimer-like Phosphorylation of τ . WANG Jian-Zhi, WANG Qun, WU Qiong-Li, I. GRUNDKE-IQBAL, K. IQBAL (Department of Pathophysiology, Tongji Medical University, Wuhan 430030, China).

Abstract Abnormal phosphorylation of microtubule

associated protein τ is one of the major mechanism in Alzheimer neurofibrillary degeneration. It was found that casein kinase 1 (CK-1), cyclic AMP-dependent protein kinase (PKA) and glycogen synthase kinase 3 (GSK-3) differentially phosphorylate human τ (T3L) and thus inhibit its biological activity. Moreover, the phosphorylation and inhibition of this activity of τ by GSK-3 is significantly increased if τ is prephosphorylated by PKA. Under this condition, only neglectable microtubules could be seen by electron microscopy. The data suggest that a synergistic role of PKA and GSK-3 might be involved in abnormal phosphorylation and functional inhibition of τ in Alzheimer disease.

Key words protein kinase, Alzheimer disease, τ protein, abnormal phosphorylation